



УТВЕРЖДАЮ:

Директор НИИСФ РААСН

И.Л.Шубин

«22» июня 2011г.



ЗАКЛЮЧЕНИЕ

«Оценка звукоизоляционных свойств конструкций из цементно-стружечных плит на основе измерений в звукомерных камерах НИИСФ РААСН»

Общие положения

Данная работа была выполнена в соответствии с договором № 31090 от 10 мая 2011 г. и техническим заданием к нему.

Цель работы заключалась в измерении и оценке изоляции воздушного и ударного шума цементно-стружечными плитами (ЦСП) по ГОСТ 26816-86. Для измерений Заказчиком были предоставлены следующие образцы:

1. Цементно-стружечная плита толщиной 10 мм и общей площадью около 11 м²
2. Цементно-стружечная плита толщиной 12 мм и общей площадью около 11 м²
3. Цементно-стружечная плита толщиной 20 мм и размерами 1,0 x 1,0 м.
4. Цементно-стружечная плита толщиной 24 мм и размерами 1,0 x 1,0 м.

Первые две плиты были предназначены для измерения изоляции воздушного шума.

Они были поочередно установлены в проеме размерами 4,3 x 2,5 м между двумя смежными по горизонтали звукомерными камерами объемом 200 и 112 м³.

Для крепления цементно-стружечных плит в проеме между камерами предварительно была смонтирована рама из деревянных брусьев. Места прикрепления плит к брусьям предварительно промазывались герметиком, после установки плит все швы снова тщательно промазывались герметиком, а по контуру проема все швы дополнительно заделывались уплотняющей монтажной пеной. Все этого позволило избежать проникновения звука из одной камеры в другую какими-либо побочными путями помимо основной конструкции, что повысило надежность измерений.



Две вторые плиты размерами 1,0x1,0 м были предназначены для измерения изоляции ударного шума. Они укладывались поочередно на железобетонное перекрытие толщиной 140 мм, расположенное между двумя другими смежными по вертикали звукомерными камерами размерами 240 и 107 м³. Это позволяло определять степень улучшения изоляции ударного шума перекрытием с цементно-стружечной плитой по сравнению с перекрытием без цементно-стружечной плиты.

Измерительная аппаратура

Для измерений была использована следующая аппаратура:

- образцовый источник звука типа 4224 фирмы «Брюль и Кьер» (Дания) (зав. № 1126089);
- универсальный прецизионный шумомер-анализатор спектра типа «Октава-110А» (Россия) (зав. № А060230) с предусилителем КММ 400 (за в.№ 06008) и микрофоном МК 265 (зав. № 134), соответствующий первому классу точности, и удовлетворяющий по своим метрологическим характеристикам требованиям ГОСТ 17187 [1];
- акустический калибратор типа 4230 фирмы «Брюль и Кьер» (Дания) (зав. № 298409);
- самописец уровня типа 2306 фирмы «Брюль и Кьер» (Дания) (зав. № 615905);
- стандартная ударная машина типа 3204 фирмы «Брюль и Кьер»(Дания).

Все перечисленные средства измерения имеют действующее свидетельство о гос-поверке (№ 3/340-0024-11, срок действия до 14.01.12г.), выданное Федеральным государственным учреждением «Менделеевский центр стандартизации, метрологии и сертификации» (ФГУ «МЕНДЕЛЕЕВСКИЙ ЦСМ»).

Измерения проводились в соответствии с ГОСТ 27296-87 «Защита от шума в строительстве. Звукоизоляция ограждающих конструкций. Методы измерения» [2].

Методика измерения изоляции воздушного шума

Согласно ГОСТ 27296-87 метод измерения изоляции воздушного шума внутренними ограждающими конструкциями заключается в последовательном измерении и сравнении средних уровней звукового давления в третьоктавных полосах частот в камерах высокого и низкого уровней, разделенных испытуемым ограждением (в данном случае перегородкой из цементно-стружечной плиты).



В одной камере (в так называемой камере высокого уровня КВУ) устанавливался источник шума типа 4224, создающий широкополосный «розовый» шум высокого уровня во всем нормируемом измерительном диапазоне - третьоктавных полосах со среднегеометрическими частотами от 100 до 3150 Гц. Согласно ГОСТ 27296 -87 источник шума последовательно устанавливался в двух местах измерительной камеры высокого уровня - в углах, наиболее удаленных от испытываемой перегородки, на расстоянии не менее 2 м от углов и не ближе 1 м от стен камеры. При этом уровни звукового давления как в КВУ, так и в КНУ измерялись в шести точках (на каждой позиции громкоговорителя в трех точках). Точки измерений выбирались равномерно по пространству камер и отстояли не менее чем на 1 м от поверхности ограждающих конструкций и друг от друга.

При включении источника шума в камере высокого уровня возникал интенсивный шум. При этом одновременно в соседней камере (камере низкого уровня КНУ) наблюдается ослабленный шум, проникающий из камеры высокого уровня через перегородку. Степень ослабления шума зависит от звукоизоляции перегородки. Непосредственные измерения распределения уровней звукового давления в камерах высокого и низкого уровня выполнялись с помощью прецизионного шумомера-анализатора спектра типа «Октава-110А». Необходимое для расчетов звукоизоляции время реверберации в камере низкого уровня определялось на основании записей процесса реверберации на ленте самописца уровня типа 2306.

Для каждой третьоктавной полосы частот проводилось усреднение измеренных уровней звукового давления, а затем рассчитывалась изоляция воздушного шума перегородкой из цементно-стружечной плиты R , дБ, по формуле:

$$R = L_{\text{КВУ}} - L_{\text{КНУ}} + 10 \lg S/A_{\text{КНУ}},$$

где $L_{\text{КВУ}}$ и $L_{\text{КНУ}}$ – средние уровни звукового давления в камерах высокого и низкого уровня соответственно, дБ;

S – площадь испытываемой перегородки, м^2 ;

$A_{\text{КНУ}}$, м^2 , – эквивалентная площадь звукопоглощения в камере низкого уровня, определяемая по формуле $A_{\text{КНУ}} = 0,164 V / T$, где V – объем камеры низкого уровня, м^3 ; T – время реверберации в этой камере (для каждой третьоктавной частоты), с.

Найденная таким образом частотная характеристика изоляции воздушного шума перекрытием сравнивалась с оценочной кривой [4], что позволяло вычислить индекс изоляции воздушного шума R_w , дБ.



Методика измерения изоляции ударного шума

Метод измерения изоляции ударного шума перекрытием заключается в измерении приведенных уровней ударного шума под перекрытием при работе на нем стандартной ударной машины.

Если на перекрытие укладывается покрытие или дополнительные плиты (например, цементно-стружечные), то проводятся два цикла измерений - с покрытием (плитой) и без него (без нее) с последующим определением значения величины улучшения изоляции ударного шума.

При измерении изоляции ударного шума испытуемый образец (ЦСП) укладывался на перекрытие между верхней и нижней камерами в его центральной части. Стандартная ударная машина устанавливалась на испытуемый образец. Согласно ГОСТ 27296-87 размеры испытуемых образцов не должны быть меньше размеров стандартной ударной машины, т.е. не меньше 0,4 м, что в данном случае было выполнено. При работе ударной машины на верхнем перекрытии (с образцом или без него) в нижней камере (КНУ) возникал ударный шум, третьоктавные уровни которого измерялись в шести точках нижней камеры. При этом измерительные точки выбирались равномерно по камере, но не ближе 1 м от ее стен и не ближе 2 м от ее углов.

Измеренные уровни звукового давления в шести точках затем усреднялись, и по среднему значению для каждой третьоктавной полосы частот рассчитывался приведенный третьоктавный уровень ударного шума $L_{n \text{ обр.}}$ под перекрытием с образцом по формуле:

$$L_{n \text{ обр.}} = L_{\text{КНУ обр.}} + 10 \lg A_{\text{КНУ}} / A_0, \text{ дБ},$$

где $L_{\text{КНУ обр.}}$ – усредненный третьоктавный уровень звукового давления в нижней камере, дБ,

$A_{\text{КНУ}}$ – эквивалентная площадь звукопоглощения в нижней камере (КНУ), м^2 , определявшаяся на основании записей на ленте самописца уровня типа 2306 процесса реверберации в нижней камере;

$A_0 = 10 \text{ м}^2$ – стандартная площадь звукопоглощения.

Найденная таким образом частотная характеристика приведенных уровней ударного шума под перекрытием сравнивалась с оценочной кривой [4], что позволяло вычислить индекс приведенного уровня ударного шума $L_{nW \text{ обр.}}$, дБ.

После выполнения измерений с образцами (цементно-стружечными плитами размерами 1,0 x 1,0 м) было проведено измерение для случая, когда на перекрытии между камерами не было никакого образца, а ударная машина устанавливалась непосредственно



на перекрытие. При этом приведенный уровень ударного шума $L_{п\text{ без обр.}}$ под перекрытием рассчитывался по формуле:

$$L_{п\text{ без обр.}} = L_{кн\text{у без обр.}} + 10 \lg A_{кн\text{у}} / A_o, \text{ дБ.}$$

Сравнение полученной частотной характеристики приведенных уровней ударного шума под перекрытием без образцов («голое железобетонное перекрытие») с оценочной кривой [4] позволило вычислить индекс приведенного уровня ударного шума $L_{п\text{W без обр.}}$, дБ.

Сравнение частотных характеристик приведенного уровня ударного шума под перекрытием без образца и с образцом позволяло определять улучшение изоляции ударного шума. Так как все измерения проводились последовательно в один день, то температура и атмосферное давление, а следовательно, время реверберации и звукопоглощение в нижней камере практически не менялись. Поэтому улучшение изоляции ударного шума перекрытием за счет дополнительной укладки образца (цементно-стружечной плиты) можно было определять по формуле:

$$\begin{aligned} L_{п\text{ без обр.}} - L_{п\text{ обр.}} &= (L_{кн\text{у без обр.}} + 10 \lg A_{кн\text{у}} / A_o) - (L_{кн\text{у обр.}} + 10 \lg A_{кн\text{у}} / A_o) = \\ &= L_{кн\text{у без обр.}} - L_{кн\text{у обр.}}, \text{ дБ.} \end{aligned}$$

По этим величинам было определено улучшение индекса приведенного уровня ударного шума [3,4]: $\Delta L_{п\text{W}} = L_{п\text{W без обр.}} - L_{п\text{W обр.}}$.

Результаты измерений изоляции воздушного шума перегородками из цементно-стружечных плит

Результаты измерений звукоизоляции воздушного шума перегородкой из цементно-стружечных плит толщиной 10 мм представлены в таблице 1, а перегородкой 12 мм в – таблице 2. В этих таблицах приведены также измеренные третьоктавные уровни звукового давления в каждой измерительной точке как в камере высокого, так и в камере низкого уровня проведено их усреднение в соответствии с ГОСТ 27296 -87, дана поправка на влияние размеров перегородки и звукопоглощения в камере низкого уровня. Окончательный результат округлен до целых значений. В таблицах приведена также стандартная оценочная кривая звукоизоляции воздушного шума [4], на основании сравнения с которой усредненной измеренной кривой звукоизоляции по методике ГОСТ 27296-87 [2] и СП 23 - 103-2003 [4] был определен индекс изоляции воздушного шума перегородкой R_w , дБ.

Результаты измерений изоляции воздушного шума представлены также на рисунках 1 и 2 для перегородок толщиной 10 и 12 мм соответственно, а на рисунке 3 совместно для обеих перегородок.



Для перегородки из цементно-стружечных плит толщиной 10 мм индекс изоляции воздушного шума $R_w = 30$ дБ (таблица 1), а для перегородки толщиной 12 мм $R_w = 31$ дБ (таблица 2).

Из таблиц 1 и 2 и рисунков 1 и 2 видно, что кривые и индексы звукоизоляции перегородок весьма близки друг к другу.

Этого можно было ожидать с самого начала, так как толщины и поверхностные плотности данных перегородок различаются незначительно.

Следует отметить, что данные перегородки имеют низкий индекс изоляции воздушного шума ($R_w = 30 - 31$ дБ). Например, для межквартирных стен перегородок нормативный индекс равен $R_w = 50$ дБ, для межкомнатных перегородок в одной квартире $R_w = 41$ дБ, для перегородок между кабинетами в офисах $R_w = 49$ дБ и т.д. [3].

Однако, если подобные плиты применить в составной конструкции – две плиты на некотором расстоянии друг от друга, промежуток между ними заполнен звукопоглощающим материалом, – то можно добиться значительно более высокого индекса изоляции воздушного шума.

Таблица 1 - Частотная характеристика изоляции воздушного шума перегородкой из цементно-стружечных плит толщиной 10 мм

Величины	Среднегеометрические частоты третьоктавных полос в нормируемом диапазоне звуковых частот, Гц																	Индекс изоляции воздушного шума $R_{w,ДБ}$
	100	125	160	200	250	315	400	500	630	800	1000	1250	1600	2000	2500	3150		
1	2	3	4	5	6	7	8	9	10	11	12	13	14	15	16	17	18	
$S_{\text{перегородки}} = 4,3 \times 2,5 = 10,75 \text{ м}^2$, толщина перегородки = 10 мм, $V_{\text{кнч}} = 112 \text{ м}^3$																		
Время реверберации в камере низкого уровня $T_{\text{рев., С}}$	4,7	4,6	4,1	3,8	3,2	3,0	2,8	2,6	2,5	2,3	2,1	1,9	1,7	1,6	1,5	1,4	-	
Эквивалентная площадь звукопоглощения в камере низкого уровня $A_{\text{кнч}, \text{ м}^2}$	3,90	4,00	4,48	4,84	5,78	6,18	6,64	7,17	7,47	8,15	8,96	9,43	10,54	11,20	11,95	12,80	-	
Уровни звукового давления, измеренные в камере высокого уровня $L_i \text{ кВу, дБ}$	изм. точка	1	90,7	98,1	96,5	95,6	95,6	97,4	95,5	99,0	100,0	99,9	99,9	99,0	99,0	96,9	96,2	93,3
изм. точка	2	88,6	97,5	95,3	96,2	95,1	95,3	98,1	100,4	101,1	97,0	97,8	92,5	95,8	97,1	96,2	93,3	
изм. точка	3	92,7	97,9	96,6	95,6	95,6	99,1	99,6	98,4	97,9	97,1	92,2	95,6	96,1	97,0	92,9		

Продолжение приложения 6

227



8

Продолжение таблицы 1

изм. точка 4	92,0	96,8	96,0	97,7	96,5	96,5	98,5	99,6	101,1	99,2	97,4	93,1	96,3	97,1	96,9	93,8
изм. точка 5	93,1	97,5	98,2	94,5	96,4	96,9	98,4	100,8	100,6	99,2	96,7	93,1	96,9	97,9	96,3	93,6
изм. точка 6	89,1	99,6	96,2	97,7	95,4	96,7	99,2	99,0	99,7	99,2	97,7	92,6	96,1	97,1	95,7	94,1
Усредненный по камере высокого уровня уровень звукового давления L _{кву} , дБ	90,5	97,9	96,5	96,2	96,1	96,3	98,7	99,9	100,1	98,6	97,1	92,7	96,1	97,0	96,4	93,5
Уровни звукового давления, измеренные в камере низкого уровня L _{кпу} , дБ	72,6	77,9	80,9	77,3	70,5	72,3	73,5	73,3	72,5	68,7	65,6	61,8	64,7	66,2	65,4	66,7
изм. точка 1	75,4	82,4	77,5	77,7	72,1	73,5	74,3	74,9	71,6	69,0	65,7	61,5	64,6	66,2	65,3	66,8
изм. точка 2	75,7	82,3	77,1	75,8	72,8	72,2	73,7	73,8	71,8	68,3	65,6	61,2	65,0	67,1	65,5	66,8
изм. точка 3	75,0	79,9	80,0	76,5	73,4	73,0	73,4	73,5	72,3	67,8	65,0	61,0	64,8	66,6	65,1	67,2
изм. точка 4	75,1	81,8	79,0	76,8	72,1	71,1	71,9	75,2	71,9	68,0	65,2	61,0	64,4	66,4	65,5	66,4
изм. точка 5	75,4	81,5	79,6	74,5	74,0	71,9	73,4	74,0	71,1	68,8	65,1	61,2	64,3	66,1	65,9	67,2
изм. точка 6																
Усредненный по камере низкого уровня уровень звукового давления L _{кпу} , дБ	74,9	81,0	79,0	76,4	72,5	72,3	73,4	74,1	71,9	68,4	65,4	61,3	64,6	66,4	65,5	66,9

Окончание таблицы 1

Разность усредненных уровней звукового давления $L_{кву} - L_{кпу}$, дБ	15,6	16,9	17,5	19,8	23,6	24,0	25,3	25,8	28,2	30,2	31,7	31,4	31,5	30,6	30,9	26,6
Поправка $10 \lg(S_{пер}/A_{кпу})$, дБ	4,4	4,3	3,8	3,5	2,7	2,4	2,1	1,8	1,6	1,2	0,8	0,6	0,1	-0,2	-0,5	-0,8
Фактическая изоляция перегородкой городского воздушного шума (округлено с точностью до десятых) R_f , дБ	20	21	21	23	26	26	27	28	30	31	33	32	32	30	30	26
Оценочная кри-вая изоляции воздушного шума (по СНиП 23 -03-2003 [3])	33	36	39	42	45	48	51	52	53	54	55	56	56	56	56	-
Индекс и зольции воздушного шума перегородкой из цементно-стружечных плит толщиной 10 мм составляет $R_w = 30$ дБ	Индекс и зольции воздушного шума перегородкой из цементно-стружечных плит толщиной 10 мм составляет $R_w = 30$ дБ															
Вывод:																

Продолжение приложения 6

229

Таблица 2 - Частотная характеристика изоляции воздушного шума перегородкой из цементно-стружечных плит толщиной 12 мм

Величины	Среднегеометрические частоты третьоктавных полос в нормируемом диапазоне звуковых частот, Гц																Индекс изоляции воздушного шума $R_{w,ДБ}$
	100	125	160	200	250	315	400	500	630	800	1000	1250	1600	2000	2500	3150	
1	2	3	4	5	6	7	8	9	10	11	12	13	14	15	16	17	18
$S_{\text{перегородки}} = 4,3 \times 2,5 = 10,75 \text{ м}^2$, толщина перегородки $d = 10 \text{ мм}$, $V_{\text{кпу}} = 112 \text{ м}^3$																	
Время реверберации в камере низкого уровня $T_{\text{рев. л. С}}$	4,7	4,6	4,1	3,8	3,2	3,0	2,8	2,6	2,5	2,3	2,1	1,9	1,7	1,6	1,5	1,4	-
Эквивалентная площадь звукопоглощения в камере низкого уровня $A_{\text{кпу, л. м}^2}$	3,90	4,00	4,48	4,84	5,78	6,18	6,64	7,17	7,47	8,15	8,96	9,43	10,54	11,20	11,95	12,80	-
Уровни звукового давления, измеренные в камере высокого уровня $L_i \text{ кВу, дБ}$																	
изм. точка 1	89,1	94,5	96,6	97,1	94,8	93,1	97,2	98,2	98,7	97,0	96,0	91,1	95,9	96,4	97,0	92,0	
изм. точка 2	88,3	95,4	67,9	96,4	92,4	95,9	97,8	99,7	100,4	97,5	97,2	91,9	96,0	97,4	97,5	92,5	
изм. точка 3	92,9	97,4	96,0	96,9	96,3	94,7	98,2	98,8	99,5	97,4	97,5	92,8	96,6	97,1	98,6	93,2	



Продолжение таблицы 2		87,1	96,9	99,3	94,4	93,8	96,4	98,0	99,8	98,0	98,5	96,2	92,4	96,3	98,4	98,4	93,1
изм. точка	4	87,1	96,9	99,3	94,4	93,8	96,4	98,0	99,8	98,0	98,5	96,2	92,4	96,3	98,4	98,4	93,1
изм. точка	5	93,8	99,0	101,3	94,4	94,4	97,7	99,1	100,6	101,0	99,2	96,4	93,6	97,3	98,6	98,2	93,9
изм. точка	6	93,6	98,5	96,5	96,7	94,0	97,1	98,0	99,0	100,9	98,5	96,1	92,3	97,1	97,5	98,7	93,4
Усредненный по камере высокого уровня уровень звукового давления L _{кву} , дБ		90,8	97,0	97,9	96,0	94,3	95,8	98,1	99,4	99,8	98,0	96,6	92,4	96,5	97,5	98,1	93,0
Уровни звукового давления, измеренные в камере низкого уровня L _{кнл} , дБ		73,4	76,2	78,3	75,5	70,7	70,1	72,0	71,7	68,7	67,5	64,4	61,1	64,3	65,9	66,9	65,0
изм. точка	1	73,4	76,2	78,3	75,5	70,7	70,1	72,0	71,7	68,7	67,5	64,4	61,1	64,3	65,9	66,9	65,0
изм. точка	2	74,9	78,4	78,5	75,9	71,0	73,0	72,7	72,0	69,7	67,2	64,2	59,9	64,5	65,6	67,0	65,4
изм. точка	3	75,1	75,7	78,7	74,6	70,5	72,2	71,7	72,7	70,0	66,9	64,2	60,9	64,9	66,5	67,7	65,1
изм. точка	4	74,3	78,0	77,5	74,5	70,8	71,8	73,5	71,3	69,4	66,4	64,3	60,5	64,4	66,0	66,9	65,2
изм. точка	5	74,8	78,1	76,4	74,1	70,7	71,8	71,3	72,1	69,7	67,2	64,3	60,5	64,2	66,0	68,2	65,2
изм. точка	6	73,2	78,7	79,2	75,5	71,7	70,9	71,0	71,1	69,9	67,1	64,2	60,7	65,0	66,0	67,9	65,7
Усредненный по камере низкого уровня уровень звукового давления L _{кнл} , дБ		74,3	77,5	78,1	75,0	70,9	71,6	72,0	71,9	69,5	67,1	64,3	60,6	64,6	66,0	68,1	65,3



12

Окончание таблицы 2

Разность усредненных уровней звукового давления $L_{кву} - L_{кпу}$, дБ	16,5	19,5	19,8	21,0	23,4	24,2	26,1	27,5	30,3	30,9	32,3	31,8	31,9	31,5	30,0	27,7	
Поправка, дБ, $10 \lg(S_{пер./A_{кпу}})$	4,4	4,3	3,8	3,5	2,7	2,4	2,1	1,8	1,6	1,2	0,8	0,6	0,1	-0,2	-0,5	-0,8	-
Фактическая изоляция перегородкой городского воздушного шума (округлено с точностью до десятых) R_f , дБ	21	24	24	25	26	27	28	29	32	32	33	32	32	31	30	27	$R_w = 31$ дБ
Оценочная критерия изоляции воздушного шума (по СНиП 23 -03-2003 [3])	33	36	39	42	45	48	51	52	53	54	55	56	56	56	56	56	-
Вывод:	Индекс и зольции воздушного шума перегородкой из цементно-стружечных плит толщиной 12 мм составляет $R_w = 31$ дБ																

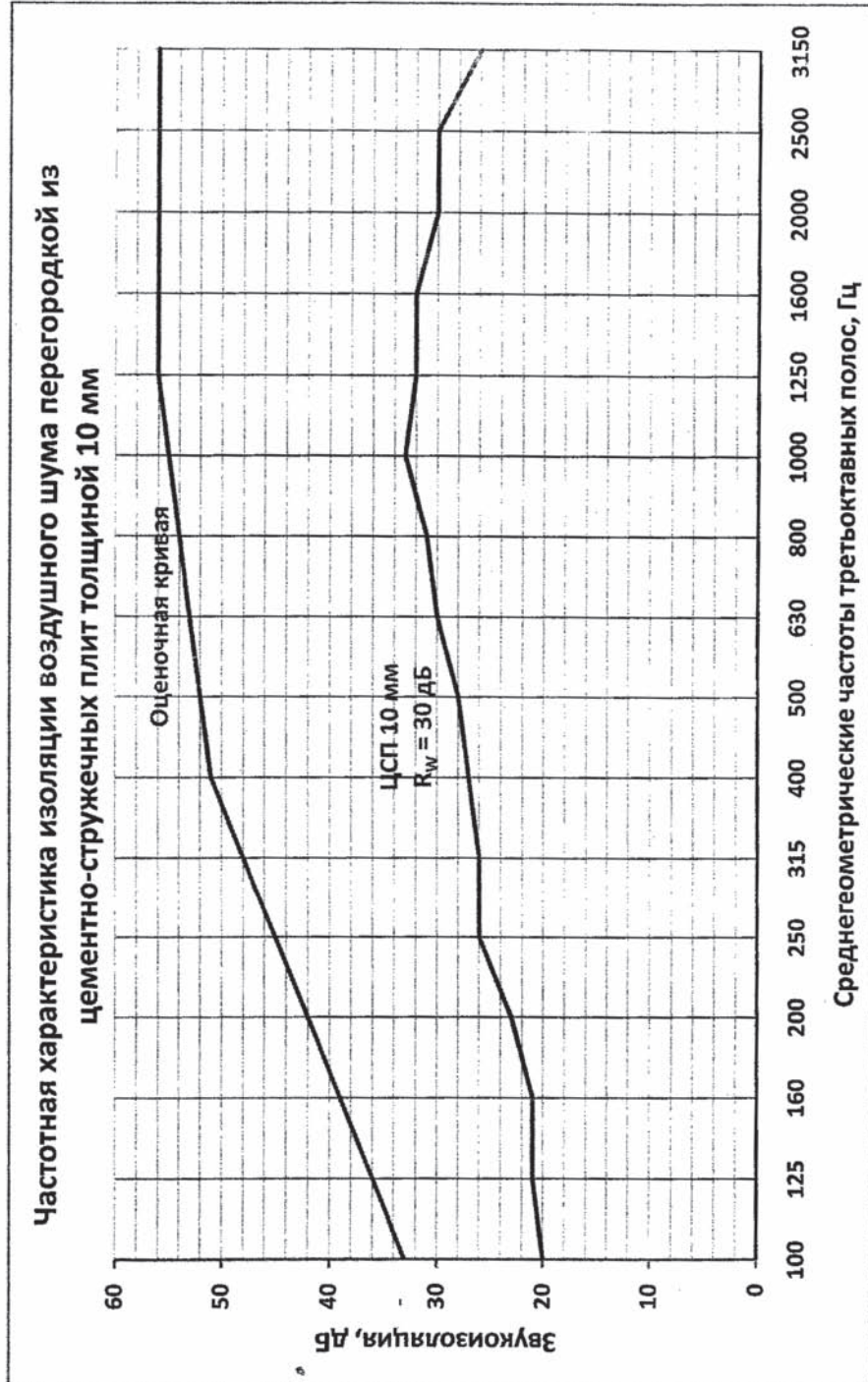


Рисунок 1

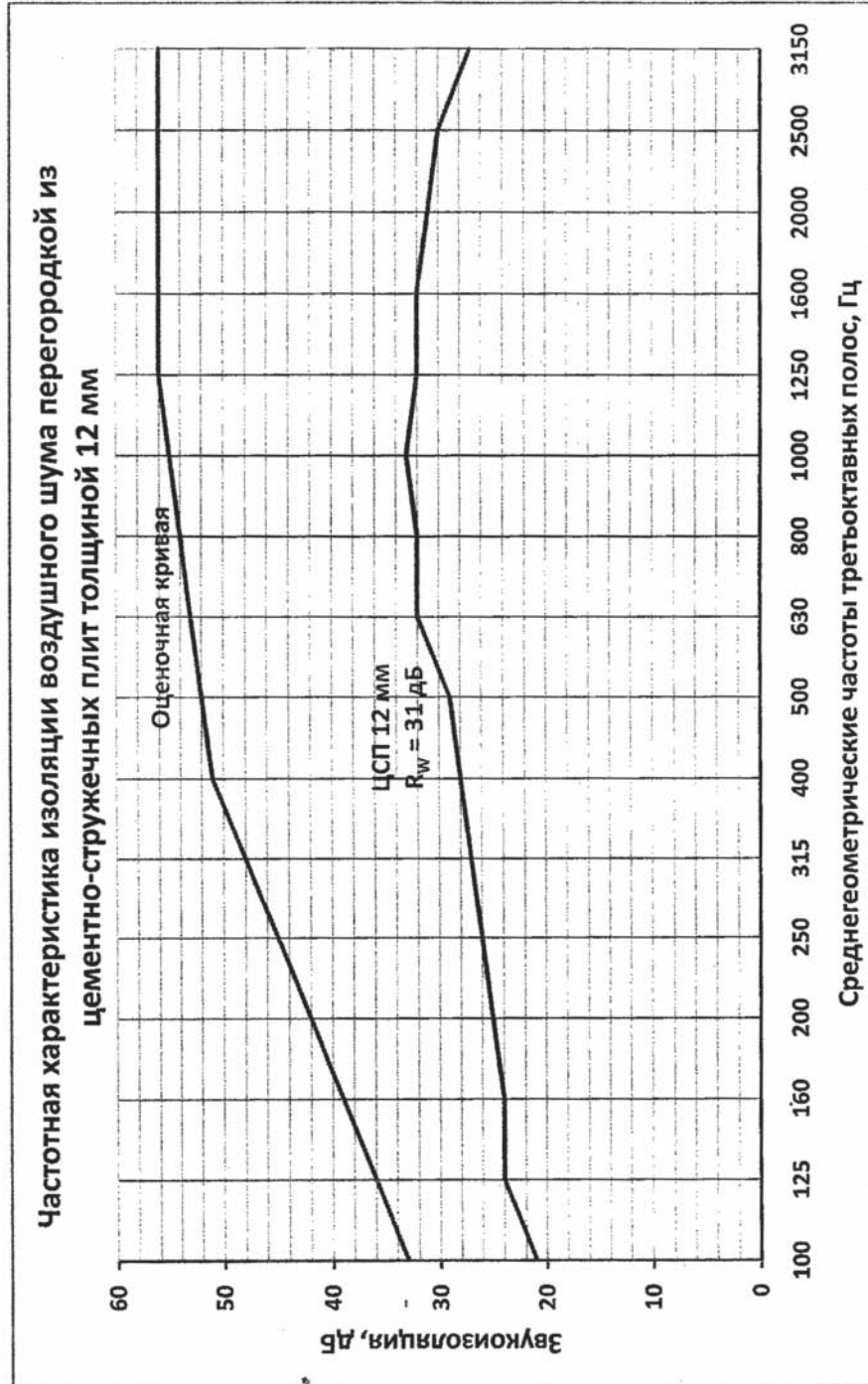


Рисунок 2

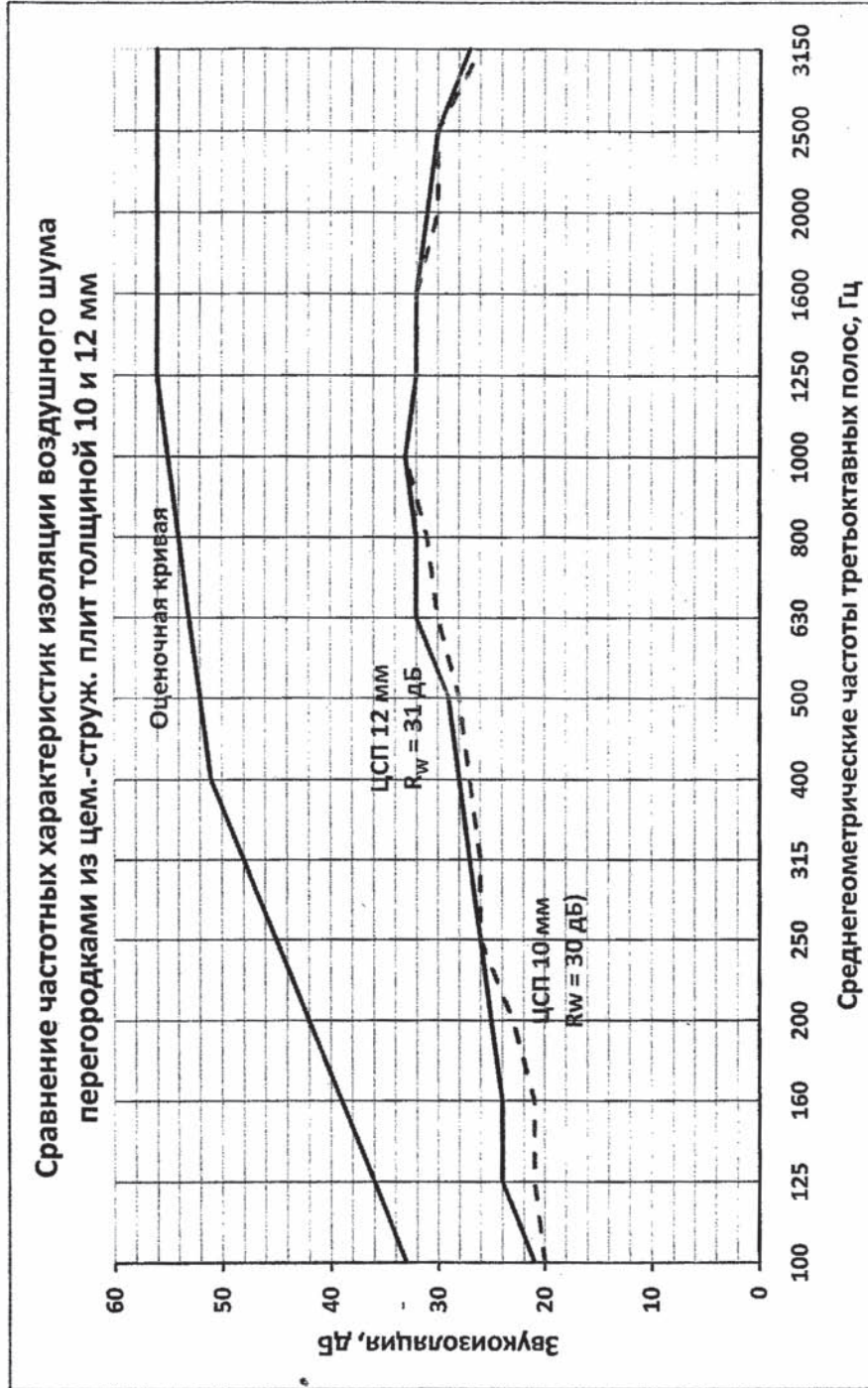


Рисунок 3



Результаты измерений изоляции ударного шума
цементно-стружечными плитами

В таблицах 3 и 4 приведены результаты измерений уровней звукового давления в нижней камере под перекрытием, на верху которого устанавливались поочередно испытуемые образцы из цементно-стружечных плит толщиной 20 и 24 мм, на которые в свою очередь устанавливалась ударная машина.

В этих таблицах приведены также измеренные третьоктавные уровни звукового давления в каждой измерительной точке в нижней камере, проведено их усреднение в соответствии с ГОСТ 27296-87, дана поправка на влияние звукопоглощения в камере низкого уровня. На основании внесения поправки в усредненный спектр изоляции были получены октавные приведенные уровни ударного шума, округленные до целых значений. В таблицах 3, 4, 5 приведена также стандартная оценочная кривая приведенного уровня ударного шума [4], на основании сравнения с которой по методике ГОСТ-2729687 [2] и СП 23-103-2003 [4] приведенных уровней ударного шума был определен индекс приведенного уровня ударного шума L_{nW} , дБ, каждой цементно-стружечной плитой толщиной 20 и 24 мм.

Результаты измерений изоляции ударного шума цементно-стружечными плитами толщиной 20 и 24 мм представлены также на рисунках 4 и 5 соответственно, а на рисунке 6 совместно для обеих плит.

Для цементно-стружечной плиты толщиной 20 мм индекс приведенного уровня ударного шума составил $L_{nW \text{ обр.}} = 64$ дБ (таблица 4), а для плиты толщиной 24 мм оказался несколько лучше - $L_{nW \text{ обр.}} = 63$ дБ (таблица 5).

Если на перекрытие между верхней и нижней камерами не укладывается никакой образец, то индекс приведенного уровня ударного шума составляет $L_{nW \text{ (без образцов)}} = 80$ дБ (таблица 3).

Таким образом, цементно-стружечная плита толщиной 20 мм дает улучшение изоляции ударного шума на $\Delta L_{nW} = L_{nW \text{ (без образцов)}} - L_{nW \text{ обр.}} = 80 - 64 = 16$ дБ, а цементно-стружечная плита толщиной 24 мм – на $\Delta L_{nW} = 17$ дБ.

Это улучшение изоляции ударного шума практически мало зависит от конструкции несущего перекрытия, поэтому полученные результаты будут справедливы и для другого перекрытия при условии укладывания на него цементно-стружечных плит толщиной 20 или 24 мм.



14

Из рисунка 6 видно, что эффективность снижения ударного шума цементно-стружечными плитами толщиной 20 и 24 мм почти одинаковая.

Дальнейшего улучшения изоляции ударного шума цементно-стружечными плитами 20 и 24 мм можно добиться, если укладывать под них какой-либо упруго-мягкий материал. Для иллюстрации этого эффекта нами был проведен дополнительный эксперимент, когда под плиты был уложен упруго-мягкий материал изолон толщиной 10 мм. Результаты этих измерений приведены в таблицах 6 и 7 и показаны на рисунках 4 и 5. Улучшение изоляции ударного шума составило по индексу для плиты толщиной 20 мм $\Delta L_{nW} = L_{nW}(\text{без образцов}) - L_{nW} \text{обр.} + \text{упр.} = 80 - 55 = 25$ дБ, а для плиты толщиной 24 мм – $\Delta L_{nW} = L_{nW}(\text{без образцов}) - L_{nW} \text{обр.} + \text{упр.} = 80 - 53 = 27$ дБ.

Таким образом, при применении упруго-мягкого материала получен дополнительный выигрыш в 9 -10 дБ.

Из рисунков 4, 5, 6 видно, что цементно-стружечные плиты толщиной 20 и 24 мм, уложенные непосредственно на несущее железобетонное перекрытие, обеспечивают заметное улучшение изоляции ударного шума лишь в области средних и особенно высоких частот, начиная с третьоктавной полосы со среднегеометрической частотой 630 Гц.

При применении дополнительно упруго-мягкого слоя под плитами заметное улучшение изоляции ударного шума начинается уже с полосы со среднегеометрической частотой 200 Гц.

Это лишний раз подтверждает целесообразность использования в конструкциях перекрытий зданий слоев из упруго-мягких материалов.

Таблица 3 - Частотная характеристика изоляции ударного шума железобетонным перекрытием между верхней и нижней камерами без укладки цементно-стружечных плит

Величины	Среднегеометрические частоты третьоктавных полос в нормируемом диапазоне звуковых частот, Гц																	Индекс приведенного уровня ударного шума $L_{нв}, дБ$
	100	125	160	200	250	315	400	500	630	800	1000	1250	1600	2000	2500	3150		
1	2	3	4	5	6	7	8	9	10	11	12	13	14	15	16	17	18	
Стандартная ударная машина на перекрытии между верхней и нижней камерами (без испытываемых образцов) $V_{кнч} = 107 м^3$																		
Уровни звукового давления, измеренные в нижней камере L_i кнч, дБ																		
изм. точка	1	66,5	64,7	70,4	75,3	75,4	73,7	74,2	72,5	72,0	73,2	73,0	73,9	74,8	75,2	75,9	74,7	
изм. точка	2	62,5	66,4	72,7	72,0	74,7	73,3	74,3	71,3	72,1	73,4	73,5	73,4	74,8	75,1	76,3	75,0	
изм. точка	3	63,9	63,2	69,8	72,3	74,5	74,2	75,0	72,5	72,2	73,0	72,9	73,6	75,1	75,9	76,8	75,4	
изм. точка	4	63,3	65,4	72,0	75,0	73,2	74,2	74,4	73,0	71,8	72,1	73,6	74,1	74,6	75,2	76,2	75,8	
изм. точка	5	66,9	69,2	72,5	72,4	75,1	72,5	74,9	72,0	71,5	72,6	73,4	74,4	75,7	75,2	76,9	75,2	



16

Окончание таблицы 3

изм. точка	6	67,7	65,6	72,4	73,1	73,9	72,6	75,1	71,9	71,9	72,6	72,9	74,2	74,8	75,3	76,2	74,8
Усредненный по камеренизкого уровня уровень звукового давления $L_{кнч}, дБ$	65,1	65,8	71,6	73,4	74,5	73,4	73,4	74,7	72,2	71,9	72,8	73,2	73,9	75,0	75,3	76,4	75,2
Поправка $10 \lg (A_{кнч} / A_0), дБ$	-5	-5	-4,6	-2,4	-2,6	-2,4	-3	-2,1	-1,5	-1,4	-1,7	-1,5	-1,5	-1,5	-1,4	-0,8	-0,1
Приведенный уровень ударного шума (округлено с точностью до десятых) L_n без обр.	60	61	67	71	72	71	72	72	70	70	71	72	72	73	74	76	75
Оценочная критерия изоляции ударного шума (по СНиП 23 -03-2003 [3])	62	62	62	62	62	62	61	60	59	58	57	54	51	48	45	42	-

 L_{nW} без обр. =
80 дБ



Таблица 4 - Частотная характеристика улучшения изоляции ударного шума, обеспечиваемого цементно-стружечной плитой толщиной 20 мм

Величины	Среднегеометрические частоты третьоктавных полос в нормируемом диапазоне звуковых частот, Гц																	Индекс приведенного ударного шума $L_{нв}, дБ$
	100	125	160	200	250	315	400	500	630	800	1000	1250	1600	2000	2500	3150		
1	2	3	4	5	6	7	8	9	10	11	12	13	14	15	16	17	18	
<p>$V_{кнч} = 107 \text{ м}^3$</p> <p>Стандартная ударная машина на цементно-стружечной плите толщиной 20 мм, уложенной на перекрытие между верхней и нижней камерами</p>																		
<p>Уровни звукового давления, измеренные в нижней камере L_i кнч, дБ</p>																		
изм. точка	1	60,6	58,1	67,8	74,7	71,7	71,1	72,1	40,2	70,2	65,6	63,7	60,1	58,0	52,0	48,4	42,6	
изм. точка	2	56,5	61,0	69,2	72,2	73,5	71,4	72,0	70,7	70,1	65,8	64,3	60,3	57,8	52,5	49,4	42,5	
изм. точка	3	62,5	59,2	69,0	71,4	70,9	69,6	73,3	70,2	70,2	65,6	64,6	60,4	59,2	52,3	48,4	43,1	
изм. точка	4	56,2	60,4	71,4	71,2	69,3	71,1	72,5	70,9	70,9	65,9	64,2	60,5	58,6	53,0	48,9	43,6	



Продолжение таблицы 4

изм. точка	5	59,6	61,9	70,1	73,0	73,1	71,8	72,7	71,5	71,5	71,5	65,5	64,1	59,8	58,3	53,4	49,0	43,2	
изм. точка	6	60,8	58,5	70,9	73,9	71,2	72,2	73,4	70,6	71,3	71,3	65,6	63,7	59,3	58,1	52,3	49,5	43,5	
Усредненный по камере низкого уровня уровень звукового давления $L_{кнУ}, дБ$	59,4	59,9	69,7	72,7	71,6	71,2	72,7	70,7	70,7	70,7	70,7	65,7	64,1	60,1	58,2	52,6	48,9	43,1	-
Поправка $10 \lg (A_{кнУ} / A_0), дБ$	-5	-5	-4,6	-2,4	-2,6	-2,4	-3	-2,1	-1,5	-1,5	-1,4	-1,7	-1,5	-1,5	-1,4	-0,8	-0,1		
Приведенный уровень ударного шума (округлено с точностью до десятых) L_n без обр.	54	55	65	70	69	69	70	69	69	69	69	64	62	59	57	51	48	43	L_{nW} без обр. = 64 дБ
Оценочная критерия изоляции ударного шума (по СНиП 23 - 03 - 2003 [3])	62	62	62	62	62	62	61	60	59	59	58	57	54	51	48	45	42		-

Таблица 5 - Частотная характеристика улучшения ударного шума, обеспечиваемого цементно-стружечной плитой толщиной 24 мм

Величины	Среднегеометрические частоты третьоктавных полос в нормируемом диапазоне звуковых частот, Гц																	Индекс приведенного уровня ударного шума $L_{нв}, дБ$
	100	125	160	200	250	315	400	500	630	800	1000	1250	1600	2000	2500	3150		
1	2	3	4	5	6	7	8	9	10	11	12	13	14	15	16	17	18	
<p>$V_{кнч} = 107 м^3$</p> <p>Стандартная ударная машина на цементно-стружечной плите толщиной 24 мм, уложенной на перекрытие между верхней и нижней камерами</p>																		
Уровни звукового давления, измеренные в камере низкого уровня L_i кнч, дБ																		
изм. точка	1	62,2	57,9	67,1	70,5	69,1	69,5	70,9	70,4	67,9	64,7	63,0	58,3	56,6	52,0	46,3	42,0	
изм. точка	2	63,2	60,7	67,4	72,2	72,1	70,6	70,2	69,9	68,7	64,5	62,5	57,5	56,2	51,6	46,5	43,2	
изм. точка	3	56,4	60,7	67,7	68,9	71,2	68,8	72,4	70,7	68,9	64,6	62,4	58,1	56,4	52,0	47,0	43,2	
изм. точка	4	61,9	59,2	67,0	68,2	70,7	68,5	71,9	70,8	68,5	65,1	62,5	57,9	56,9	52,0	46,8	43,3	
изм. точка	5	59,1	60,1	67,4	71,0	69,3	68,7	70,3	71,2	68,7	64,7	63,3	58,2	57,3	52,4	46,7	43,2	
изм. точка	6	57,9	60,7	70,2	70,4	70,9	69,2	68,6	71,2	68,8	64,4	64,0	58,0	57,1	52,3	46,7	42,6	

Продолжение приложения 6

243



21

Продолжение таблицы 5	60,1	59,9	67,8	70,2	70,6	69,2	70,7	70,7	70,7	68,6	64,7	63,0	58,0	56,8	52,1	46,7	42,9	-	
Усредненный по камере низкого уровня уровень звукового давления $L_{кнУ}$, дБ	60,1	59,9	67,8	70,2	70,6	69,2	70,7	70,7	70,7	68,6	64,7	63,0	58,0	56,8	52,1	46,7	42,9	-	
Поправка $10 \lg (A_{кнУ} / A_0)$, дБ	-5	-5	-4,6	-2,4	-2,6	-2,4	-3	-2,1	-1,5	-1,4	-1,7	-1,5	-1,5	-1,4	-0,8	-0,1			
Приведенный уровень ударного шума (округлено с точностью до десятых) L_n без обр.	55	55	63	68	68	67	68	69	67	63	61	57	55	51	46	43			L_{nW} без обр. = 63 дБ
Оценочная кри- вая изоляции ударного шума (по СНиП 23 -03- 2003 [3])	62	62	62	62	62	62	61	60	59	58	57	54	51	48	45	42			-
Приведенный уровень ударного шума жел.бет. перекрытия без цементно- стружечной пли- ты (по таблице 3) L_n без обр.	60	61	67	71	72	71	72	70	70	71	72	72	73	74	76	75			L_{nW} без обр. = 80 дБ



22

Окончание таблицы 5

То же, но с цементно-стружечной плитой, уложенной на жел.бет. перекрытие L _{п.обр.}	55	55	63	68	68	67	67	68	68	69	67	63	61	57	55	51	46	43	L _{nW обр.} = 63 дБ
	Улучшение из О-ляци ударного шума цементно-стружечной плитой толщ. иной 24 мм ΔL _{nW обр.}	5	6	4	3	4	4	4	4	1	3	8	11	15	18	23	30	32	ΔL _{nW} = 17 дБ

Таблица 6 - Частотная характеристика улучшения ударного шума, обеспечиваемого цементно-стружечной плитой толщиной 20 мм, уложенной на слой упруго мягкого материала

Величины	Среднегеометрические частоты третьоктавных полос в нормируемом диапазоне звуковых частот, Гц																Индекс приведенного уровня ударного шума $L_{nw}, \text{дБ}$	
	100	125	160	200	250	315	400	500	630	800	1000	1250	1600	2000	2500	3150		
1	2	3	4	5	6	7	8	9	10	11	12	13	14	15	16	17	18	
$V_{кнч} = 107 \text{ м}^3$ Стандартная ударная машина на цементно-стружечной плите толщиной 20 мм, уложенной на упруго мягкий слой на перекрыти и между верхней и нижней камерами																		
Уровни звукового давления, измеренные в камере низкого уровня L_i кнч, дБ																		
изм. точка	1	59,5	58,0	64,1	69,1	67,9	62,5	62,8	59,1	56,3	53,0	49,6	45,5	41,4	35,0	28,8	23,7	
изм. точка	2	50,4	56,4	67,3	67,4	64,8	63,3	61,8	58,7	55,4	53,6	49,2	45,8	41,2	35,2	28,8	22,3	
изм. точка	3	59,5	57,0	64,8	65,9	65,4	63,0	61,8	59,6	55,7	53,5	49,0	45,4	41,1	34,8	28,5	21,9	
изм. точка	4	54,5	59,3	64,8	67,4	64,0	63,5	63,8	60,1	55,3	53,6	49,2	45,6	41,0	35,4	28,4	22,0	
изм. точка	5	55,5	58,3	71,5	68,2	65,2	62,3	62,2	58,8	55,8	53,1	49,7	45,6	40,5	35,2	28,4	21,8	
изм. точка	6	59,5	58,6	65,8	65,5	64,0	63,0	62,1	60,1	55,5	52,7	48,6	45,2	41,0	35,3	29,8	23,1	



Продолжение таблицы 6													Продолжение приложения 6		247		
24	56,5	57,9	66,4	67,3	65,2	62,9	62,4	59,4	55,7	53,3	49,2	45,5	41,0	35,2	28,8	22,5	-
Усредненный по камере низкого уровня звукового давления $L_{кнУ}$, дБ	-5	-5	-4,6	-2,4	-2,6	-2,4	-3	-2,1	-1,5	-1,4	-1,7	-1,5	-1,5	-1,4	-0,8	-0,1	
Поправка $10 \lg (A_{кнУ} / A_0)$, дБ																	
Приведенный уровень ударного шума (округлено с точностью до десятых) L_n без обр.	52	53	62	65	63	61	59	57	54	52	47	44	40	34	28	22	L_{nW} без обр.= 55 дБ
Оценочная кри-вая изоляции ударного шума (по СНИП 23 -03-2003 [3])	62	62	62	62	62	62	61	60	59	58	57	54	51	48	45	42	-
Приведенный уровень ударного шума жел.бет. перекрытия без цементно-стружечной плиты (по таблице 3) L_n без обр.	60	61	67	71	72	71	72	70	70	71	72	72	73	74	76	75	L_{nW} без обр.= 80 дБ



25

Окончание таблицы 6

То же, но с цементно-стружечной плитой, уложенной на упруго мягкий слой на жел.бет. перекрытии $L_{n,обр.±,упр.}$	52	53	62	65	63	61	59	57	54	52	47	44	40	34	28	22	$L_{nW,без,обр.±}$ 55 дБ
Улучшение из-за отсутствия ударного шума цементно-стружечной плитой толщиной 20 мм, уложенной на упруго мягкий слой ΔL_{nW} обр.	8	8	5	6	9	10	13	13	16	19	25	28	33	40	48	53	$\Delta L_{nW} =$ 25 дБ

Таблица 7 - Частотная характеристика улучшения изоляции ударного шума, обеспечиваемого цементно-стружечной плитой толщиной 24 мм, уложенной на слой упруго мягкого материала

Величины	Среднегеометрические частоты третьоктавных полос в нормируемом диапазоне звуковых частот, Гц																	Индекс приведенного ударного уровня шума $L_{нв}, дБ$
	100	125	160	200	250	315	400	500	630	800	1000	1250	1600	2000	2500	3150		
1	2	3	4	5	6	7	8	9	10	11	12	13	14	15	16	17	18	
$V_{кнч} = 107 м^3$ Стандартная ударная машина на цементно-стружечной плите толщиной 24 мм, уложенной на упруго мягкий слой на перекрыти и между верхней и нижней камерами																		
Уровни звукового давления, измеренные в камере низкого уровня L_i кнч, дБ																		
изм. точка	1	55,9	56,0	63,2	67,8	68,1	61,0	59,7	58,6	53,2	52,1	48,0	43,6	40,5	32,7	27,1	21,8	
изм. точка	2	51,2	56,8	67,0	65,9	63,2	61,1	60,1	57,5	54,1	51,7	47,5	43,5	40,7	32,8	26,6	20,7	
изм. точка	3	55,4	54,5	64,2	65,5	64,4	60,7	59,9	58,8	53,3	51,8	47,2	43,5	40,5	33,0	26,3	20,6	
изм. точка	4	52,9	54,2	60,0	64,5	64,5	61,1	59,7	58,9	52,4	52,2	48,0	43,8	40,6	33,3	27,8	26,1	
изм. точка	5	53,2	57,7	69,4	65,6	62,9	61,0	60,2	57,9	53,6	51,7	47,5	43,3	40,2	32,7	26,3	22,8	
изм. точка	6	58,1	56,6	63,0	64,4	63,6	60,8	60,4	58,4	53,5	52,7	47,5	43,4	40,5	32,5	26,1	20,5	

Продолжение приложения 6

249



27

Продолжение таблицы 7

Усредненный по камере низкого уровня звукового давления $L_{кнУ}$, дБ	54,5	56,0	65,1	65,6	64,5	61,0	60,0	58,4	53,4	52,0	47,6	43,5	40,5	32,8	26,7	22,1	-
Поправка, дБ, $10 \lg (A_{кнУ} / A_0)$,	-5	-5	-4,6	-2,4	-2,6	-2,4	-3	-2,1	-1,5	-1,4	-1,7	-1,5	-1,5	-1,4	-0,8	-0,1	
Приведенный уровень ударного шума (округлено с точностью до десятых) L_n без обр.	50	51	60	63	62	59	57	56	52	51	46	42	39	31	26	22	L_{nW} без обр. = 53 дБ
Оценочная кри-вая изоляции ударного шума (по СНиП 23 -03-2003 [3])	62	62	62	62	62	62	61	60	59	58	57	54	51	48	45	42	-
Приведенный уровень ударного шума жел.бет. перекрытия без цементно-стружечной плиты (по таблице 3) L_n без обр.	60	61	67	71	72	71	72	70	70	71	72	72	73	74	76	75	L_{nW} без обр. = 80 дБ

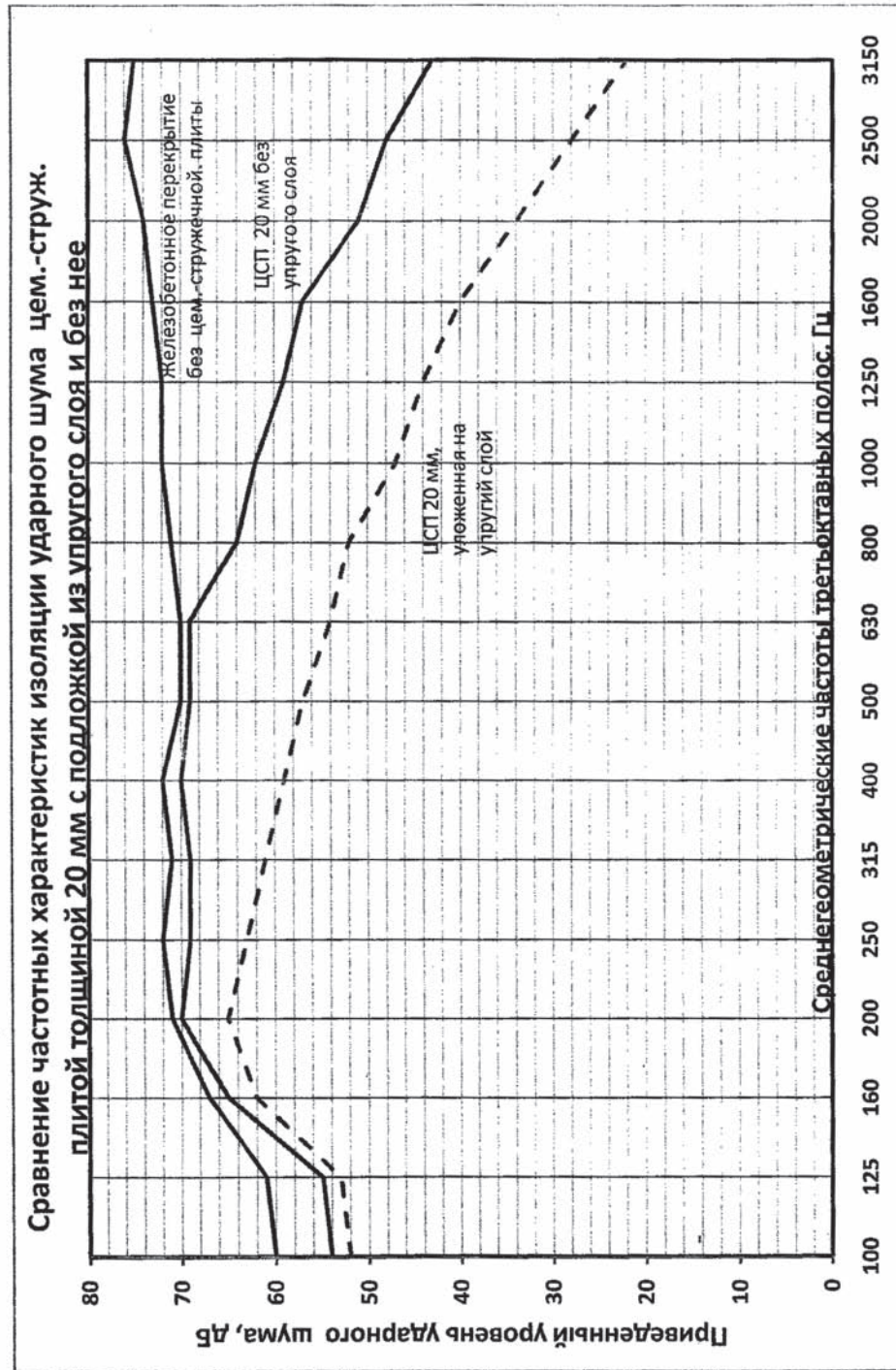


Рисунок 4

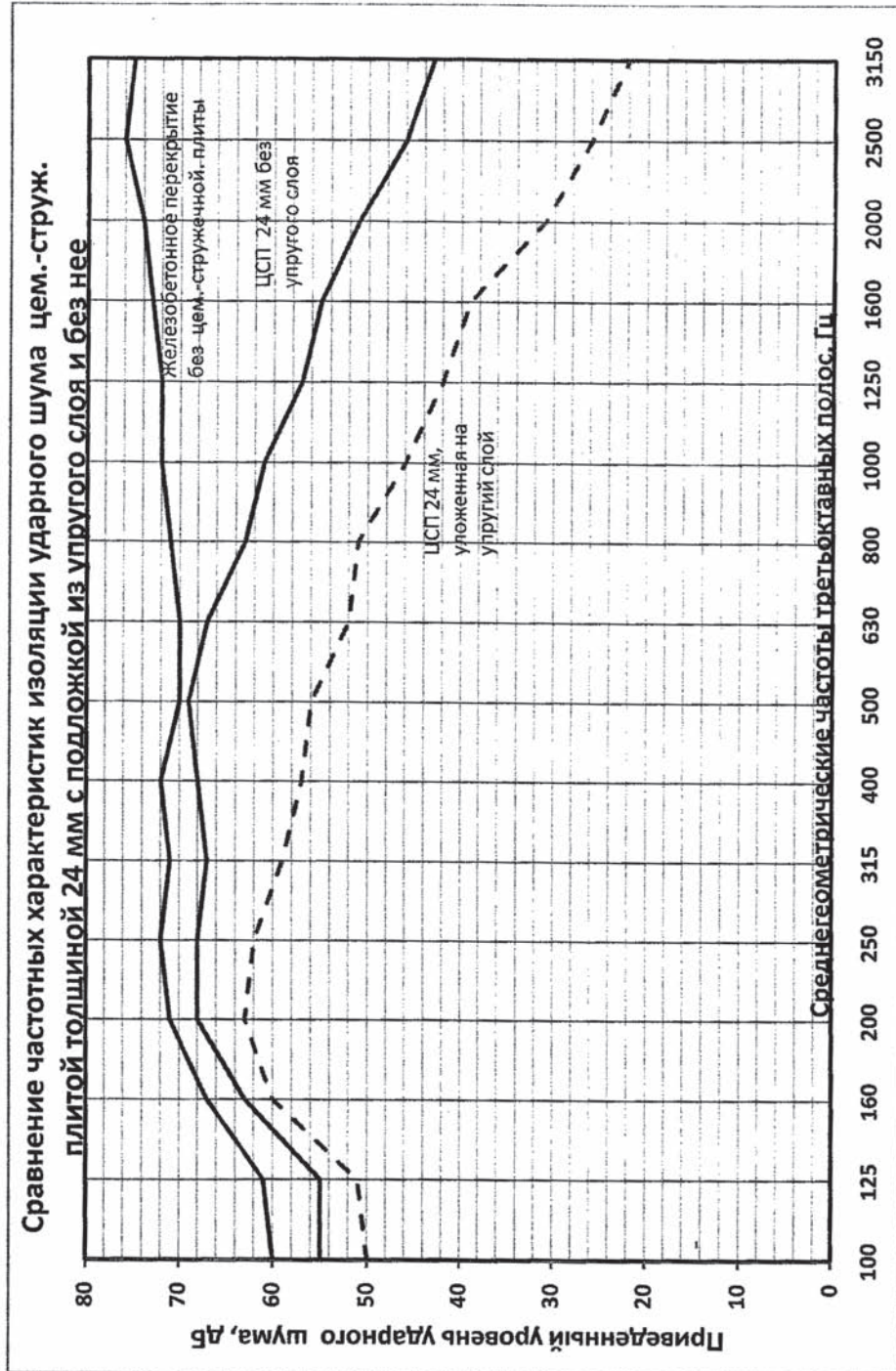


Рисунок 5

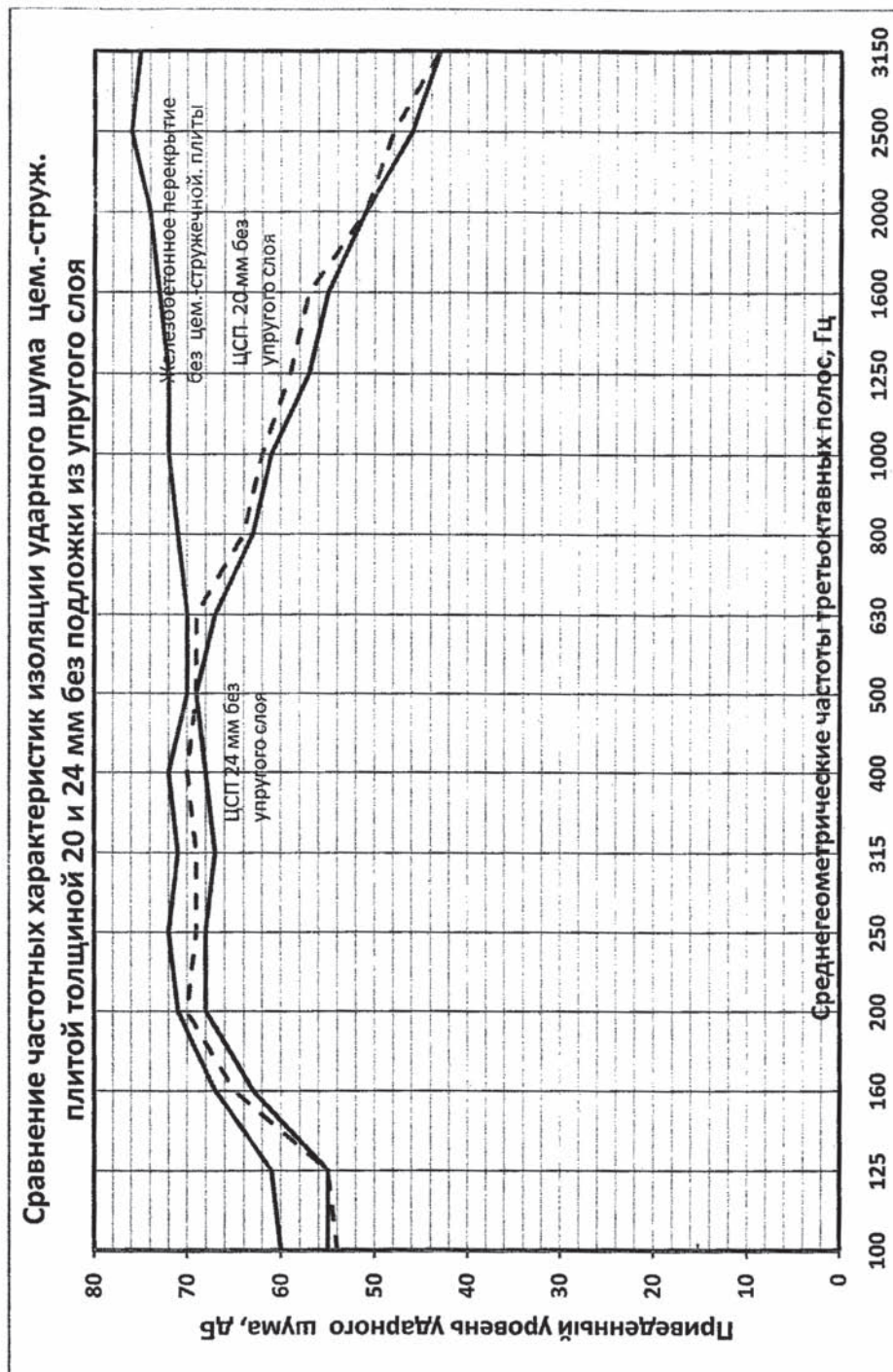


Рисунок 6



ВЫВОДЫ

1. Индекс изоляции воздушного шума перегородкой из цементно-стружечных плит толщиной 10 мм составляет $R_w = 30$ дБ, а из цементно-стружечных плит толщиной 12 мм – $R_w = 31$ дБ.
2. Частотные характеристики изоляции воздушного шума перегородок из цементно-стружечных плит толщиной 10 и 12 мм отличаются друг от друга всего лишь на 1-3 дБ в отдельных третьоктавных полосах частот.
3. Цементно-стружечные плиты толщиной 20 и 24 мм, уложенные непосредственно на железобетонное несущее перекрытие измерительной камеры НИИСФ РААСН, обеспечивают улучшение изоляции ударного шума на 16-17 дБ соответственно.
4. Частотные характеристики изоляции ударного шума цементно-стружечными плитами толщиной 20 – 24 мм отличаются друг от друга всего лишь на 1-2 дБ в отдельных третьоктавных полосах частот.
5. Основной эффект снижения приведенных уровней ударного шума цементно-стружечными плитами толщиной 20 и 24 мм наблюдается в области средних и особенно высоких частот, начиная с полосы со среднегеометрической частотой 630 Гц.
6. При укладывании цементно-стружечных плит толщиной 20 и 24 мм не непосредственно на железобетонную плиту перекрытия, а на промежуточный слой упруго мягкого материала происходит дополнительное улучшение изоляции ударного шума, составляющее 9– 10 дБ.

Список использованных источников

1. ГОСТ 17187-81 Шумомеры. Общие технические требования.
2. ГОСТ 27296-87 Защита от шума в строительстве. Звукоизоляция ограждающих конструкций. Методы измерения.
3. СНиП 23-03-2003 Защита от шума. М., Госстрой России, 2004.
4. СП 23-103-2003. Проектирование звукоизоляции ограждающих конструкций жилых и общественных зданий. М., Госстрой России, 2004.

Ответственный исполнитель,

старший научный сотрудник НИИСФ РААСН  В.А.Аистов



СОДЕРЖАНИЕ «ЗАКЛЮЧЕНИЯ»

«Оценка звукоизоляционных свойств конструкций
из цементно-стружечных плит на основе измерений
в звукомерных камерах НИИСФ РААСН»

Стр.

Общие положения.....	1
Измерительная аппаратура.....	2
Методика измерения изоляции воздушного шума.....	2
Методика измерения изоляции ударного шума.....	4
Результаты измерений изоляции воздушного шума перегородками из цементно-стружечных плит.....	5
Результаты измерений изоляции ударного шума цементно-стружечными плитами.....	13
Выводы.....	29

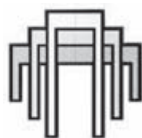


ОТКРЫТОЕ АКЦИОНЕРНОЕ ОБЩЕСТВО
«ЦЕНТРАЛЬНЫЙ НАУЧНО-ИССЛЕДОВАТЕЛЬСКИЙ И ПРОЕКТНО-ЭКСПЕРИМЕНТАЛЬНЫЙ
ИНСТИТУТ ПРОМЫШЛЕННЫХ ЗДАНИЙ И СООРУЖЕНИЙ»
(ОАО «ЦНИПРОМЗДАНИЙ»)



ЦСП ТАМАК

Рекомендации по применению
Материалы для проектирования и чертежи узлов



Открытое акционерное общество
“Центральный научно-исследовательский и проектно-экспериментальный
институт промышленных зданий и сооружений”
(ОАО “ЦНИИПромзданий”)



Проектная документация
сертифицирована.
Сертификат соответствия
№ РОСС RU .CP48.C00186

СТЕНЫ, ПОКРЫТИЯ, ПЕРЕГОРОДКИ, ПОЛЫ И
ОГРАЖДАЮЩИЕ КОНСТРУКЦИИ МАНСАРД С
ПРИМЕНЕНИЕМ ЦЕМЕНТНО-СТРУЖЕЧНЫХ ПЛИТ
ПРОИЗВОДСТВА “ТАМАК”

Материалы для проектирования и чертежи узлов

Шифр М 24.09/10



Зам. генерального директора,
заслуженный строитель России,
кандидат технических наук, профессор

С.М. Гликин

Руководитель отдела,
почётный строитель России,
кандидат технических наук

А.М. Воронин

Москва
2011



ЗАО «ТАМАК»

СИСТЕМА СЕРТИФИКАЦИИ ГОСТ Р
ФЕДЕРАЛЬНОЕ АГЕНТСТВО ПО ТЕХНИЧЕСКОМУ РЕГУЛИРОВАНИЮ И МЕТРОЛОГИИ



СЕРТИФИКАТ СООТВЕТСТВИЯ

№ РОСС RU.СР48.С00186

Срок действия с 20.06.2011 по 20.06.2014

№ 0279334

ОРГАН ПО СЕРТИФИКАЦИИ

ОРГАН ПО СЕРТИФИКАЦИИ ПРОЕКТНОЙ ПРОДУКЦИИ В СТРОИТЕЛЬСТВЕ –
ОС ОАО «ЦПП» № РОСС RU.0001.11СР48 от 06.11.2008
Россия, 127238, Москва, Дмитровское шоссе, д. 46, корп. 2; тел. (495) 482-07-78

ПРОДУКЦИЯ

ПРОЕКТНАЯ ДОКУМЕНТАЦИЯ: "СТЕНЫ, ПОКРЫТИЯ, ПЕРЕГОРОДКИ,
ПОЛЫ И ОГРАЖДАЮЩИЕ КОНСТРУКЦИИ МАНСАРД С ПРИМЕНЕНИЕМ
ЦЕМЕНТНО-СТРУЖЕЧНЫХ ПЛИТ ПРОИЗВОДСТВА «ТАМАК». МАТЕ-
РИАЛЫ ДЛЯ ПРОЕКТИРОВАНИЯ И ЧЕРТЕЖИ УЗЛОВ. ШИФР М 24.9/10

код ОК 005 (ОКП):

СООТВЕТСТВУЕТ ТРЕБОВАНИЯМ НОРМАТИВНЫХ ДОКУМЕНТОВ

СП 64.13330.2011, СП 29.13330.2011, СП 17.13330.2011, СНиП 23-02-2003,
СНиП 23-01-99* (издание 2003 г.), ФЗ № 123-ФЗ от 22.07.2008 г.

код ТН ВЭД России:

ИЗГОТОВИТЕЛЬ

ОАО «ЦНИИПромзданий», ИНН 7713006939
Россия, 127238, Москва, Дмитровское шоссе, д. 46, корп. 2, тел. 482-18-23

СЕРТИФИКАТ ВЫДАН

ОАО «ЦНИИПромзданий»

НА ОСНОВАНИИ

экспертного заключения № 597с/11 от 17.06.2011, выполненного
органом по сертификации проектной продукции в строительстве
№ РОСС RU.0001.11СР48 от 06.11.2008

ДОПОЛНИТЕЛЬНАЯ ИНФОРМАЦИЯ

Сертификация по схеме 1
Маркировка проектной документации производится знаком соответствия органа по
сертификации № РОСС RU.0001.11СР48 в правом верхнем углу титульного листа



Руководитель органа

Эксперт

Г.П. Володин
подпись
Е.Н. Акатова
подпись

Г.П. Володин
инициалы, фамилия

Е.Н. Акатова
инициалы, фамилия

Сертификат не применяется при обязательной сертификации



Обозначение документа	Наименование	стр.
М 24.09/10-ПЗ	Сертификат	
	Пояснительная записка	
	1. Общие положения	5
	2. Номенклатура изделий и область их применения	6
	3. Нормы теплозащиты	8
	4. Наружные стены	8
	4.1. Каркасные стены	8
	а) Стены со стальным каркасом	11
	б) Стены с деревянным каркасом	14
	4.2. Стены с отделочным слоем из тонкослойной штукатурки	15
	4.3. Стены с фасадной отделкой сайдингом	19
	4.4. Стены с вентилируемой воздушной прослойкой	23
	5. Перегородки	25
	6. Конструктивные решения покрытий	27
	6.1. Железобетонные покрытия с рулонной кровлей	28
	6.2. Покрытия с профилированным настилом и рулонной кровлей	30
	7. Конструктивные решения чердачных перекрытий	32
8. Конструктивные решения полов	32	
9. Ограждающие конструкции мансард	33	
	Чертежи узлов	
М 24.09/10-1	РАЗДЕЛ 1 . Наружные стены	35
М 24.09/10-1.1	1.1. Каркасные стены	35
М 24.09/10-1.1-а	а) Стены со стальным каркасом и обшивкой из ЦСП	35
М 24.09/10-1.1-б	б) Стены с деревянным каркасом и облицовкой из ЦСП	45
М 24.09/10-1.2	1.2. Стены с отделочным слоем из тонкослойной штукатурки	51
М 24.09/10-1.3	1.3. Стены с фасадной отделкой сайдингом	63
М 24.09/10-1.4	1.4. Стены с вентилируемой воздушной прослойкой	73
М 24.09/10-2	РАЗДЕЛ 2. Перегородки	83
М 24.09/10-2.1	2.1. Перегородки с металлическим каркасом	83
М 24.09/10-2.2	2.2. Перегородки с деревянным каркасом	97
М 24.09/10-3	РАЗДЕЛ 3 . Покрытия со сборным или монолитным железобетонным основанием и рулонной кровлей	109
М 24.09/10-3.1	3.1. Неэксплуатируемое покрытие	109
М 24.09/10-3.2	3.2. Эксплуатируемое покрытие	117
М 24.09/10-4	РАЗДЕЛ 4 . Покрытия по стальным профилированным настилам	125
М 24.09/10-4.1	4.1. Тёплое покрытие со сборной стяжкой и рулонной кровлей	125

						ЗАО "ТАМАК "			
						М 24.09/10			
Изм.	Кол. уч.	Лист	№ док.	Подпись	Дата				
Зам. ген. дир.		Гликин С.М.		<i>С.М. Гликин</i>		Содержание	Стадия	Лист	Листов
Рук. отд.		Воронин А.М.		<i>А.М. Воронин</i>			МП	1	2
						ОАО ЦНИИПРОМЗДАНИЙ г. Москва. 2011 г.			



Обозначение документа	Наименование	стр.
М 24.09/10-4.2	4.2. Тёплое покрытие с термопрофилями, сборной стяжкой и рулонной кровлей	135
М 24.09/10-4.3	4.3. Холодное покрытие со сборной стяжкой и рулонной кровлей	149
М 24.09/10-5	РАЗДЕЛ 5. Чердачные перекрытия	159
М 24.09/10-6	РАЗДЕЛ 6. Полы	163
М 24.09/10-7	РАЗДЕЛ 7. Ограждающие конструкции мансард	169
М 24.09/10-8	РАЗДЕЛ 8. Изделия комплектующие	179
	ПРИЛОЖЕНИЯ	
	ПРИЛОЖЕНИЕ 1. Расчёт термического сопротивления металлического профиля с перфорированной стенкой (термопрофиля)	191
	ПРИЛОЖЕНИЕ 2. Техническое заключение по результатам испытаний цементно-стружечных плит (ЦСП) производства ЗАО «ТАМАК» на температурно-влажностные воздействия	195
	ПРИЛОЖЕНИЕ 3. Испытания на изгиб ЦСП ТАМАК	207
	ПРИЛОЖЕНИЕ 4. Испытания навесных конструкций (посудных и книжных полок) из ЦСП ТАМАК толщиной 12 мм	213
	ПРИЛОЖЕНИЕ 5. Заключение по оценке класса конструктивной пожарной опасности панельных жилых домов с несущими и ограждающими конструкциями производства ЗАО «ТАМАК» и определению противопожарных разрывов между зданиями по действующим нормам	217
	ПРИЛОЖЕНИЕ 6. Заключение. Оценка звукоизоляционных свойств конструкций из цементно-стружечных плит на основе измерений в звукомерных камерах НИИСФ РААСН	221
	ПРИЛОЖЕНИЕ 7. Расчёт звукоизоляции перегородкой	257
	ПРИЛОЖЕНИЕ 8. Расчёт звукоизоляции междуэтажным перекрытием от ударного шума	264

						ЗАО «ТАМАК» М 24. 09/10	Лист
Изм.	Кол. уч.	Лист	№ док.	Подпись	Дата		2



392526, Тамбовская область, Тамбовский район,
п. Строитель, ул. Промышленная, строение 52;
тел. (4752) 77-55-01, доб. 1460, 1361, факс 1452;
e-mail: csp2@tamak.ru

www.tamak.ru